

II-49 久米島の海中道路計画に伴う諸問題

琉球大学 理工学部 正員
沖縄県南部農林土木事務所
沖縄県島尻郡仲里村役場
河野二夫
新里勝男
仲村昌清

1. まえがき

久米島は沖縄本島から西側に約80km離れた地島にある。(図-1-1)。図-1-2に示す様に久米島と奥武島との間で海中道路で連結する計画がなされているため、著者らは図-1-2の④⑤⑥地図において、今年1月23日(予備調査)と、4月26日(満月)の2回にわたり潮流や水質の調査を実施した。本論文はその調査結果の一部(主に、海中道路と建設したことによる水路の潮流)について検討した結果を示してある。

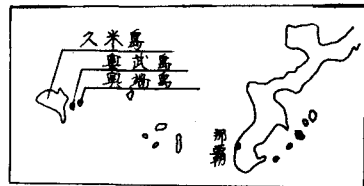


図1-1: 沖縄本島と久米島

2. 潮位と流速の実測結果

図1-2の④、⑤、⑥の各断面は中央部を約360m、800m、570m(養殖場の市か約150m)であり、海底は、④、⑤、⑥断面がほとんどflat(平均潮位面下約1m)である。また、④断面は中央部に最深箇所(平均潮位面下約5m、中90m)があるが、他の箇所は④、⑤、⑥断面と同様である。④断面と⑥断面上に潮位観測のための標尺を設置し潮位を測定した結果を図2-1に示してある。また、④、⑤、⑥の各断面での測流の結果を図2-2に示す。計測は停船と固定し、流速計とし、CM. 2型(東邦電機)、発電型等を使用した。

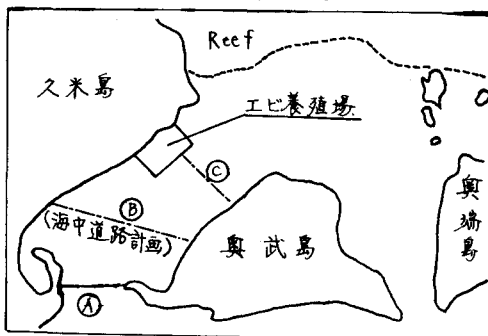


図1-2: 海中道路計画地図

3. 理論的考察

図3-1のようだ、海中道路(図1-2の④断面)の巾員を l とし道路に直交した水路(流過断面積A、溝深R、流速

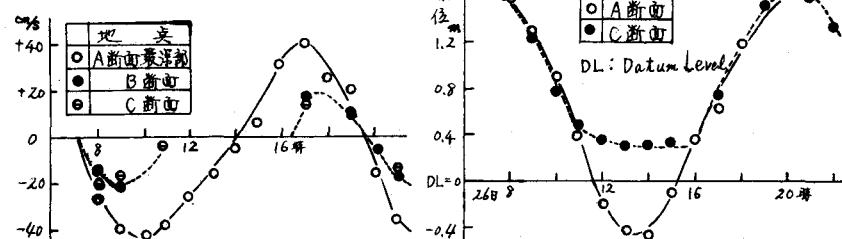


図2-1: 潮汐(4月26日)

U 、平均水面(M、W、L)上の水位変動などを考えると、運動方程式と連続の方程式は次式になる。

$$\left. \begin{aligned} \frac{\partial U}{\partial t} + U \frac{\partial U}{\partial x} + g \frac{\partial Y}{\partial x} + R \cdot U \cdot U_1 &= 0 \\ \frac{\partial A}{\partial t} + \frac{\partial (U \cdot A)}{\partial x} &= 0 \end{aligned} \right\} (3.1)$$

この式で n : manning の粗度係数、 g : 重力の加速度。
 f_e : 水路の流入損失係数である。潮汐の緩慢性から連続の方程式

$$\left. \begin{aligned} U_A &= Q_A - F_A \cdot dY_A/dt \\ U_A &= F_B dY_B/dt - Q_H \end{aligned} \right\} (3.2)$$

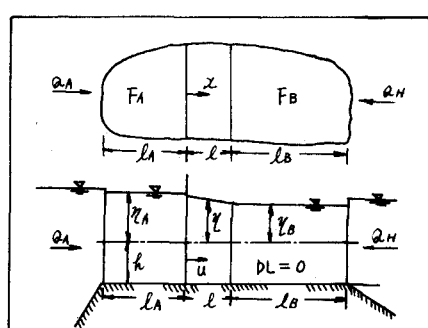


図3-1: 水路(B断面)の図

運動方程式では、 $\frac{\partial^2 u}{\partial x^2} \approx (\gamma_A - \gamma_B)/l$, $U \frac{\partial u}{\partial x} \ll 1$ と見做すと、(3.1)式は次の様になる。

$$\left. \begin{aligned} \frac{\partial u}{\partial t} + \frac{g}{l}(\gamma_B - \gamma_A) + Ku|u| = 0 \\ K = \frac{1+fe}{xl} + \frac{n^2 g}{K_B} \end{aligned} \right\} \quad (3.3)$$

図3-2は、A断面とB断面の流量の連続式 $Q_B/Q_A = 1 - (F_A/F_B)dt/dt$ について、実測値 (Q_A, Q_B) と計算値(右辺の値)と比較してもわかる。B断面附近の水面変動や流速変動は、図2-1、図2-2より概略図3-3、図3-4に示す変動としている。

以下に海中道路の水路部分の流速(U)やその西側の水面変動(Y_A)は フーリエ級数展開により、(3.4)式になる。

$$\left. \begin{aligned} Y_A = h + \gamma_A = \frac{\gamma_0}{\pi} + \frac{3h}{4} + \left(\frac{\gamma_0}{\lambda} + \frac{U}{\pi} \right) \sin \omega t - \frac{3\gamma_0}{3\pi} \cos 2\omega t + \frac{h}{3\pi} \sin 3\omega t \dots \right. \\ U|u| = \frac{4U_0}{3\pi} \cdot U + \frac{2U_0^2}{3\pi} \cos 2\omega t - \frac{U_0^2}{24\pi} \cos 3\omega t + \dots \end{aligned} \right\} \quad (3.4)$$

なら、(3.4)式の積分条件は

$$\left. \begin{aligned} + \gamma_A \text{ for } 0 < \omega t < \pi, - \gamma_A \text{ for } \pi < \omega t < 2\pi, \gamma_A = \gamma_0 \sin \omega t \\ + U^2 \text{ for } 0 < \omega t < \frac{\pi}{2}, - U^2 \text{ for } \frac{\pi}{2} < \omega t < \pi, U^2 = 0 \text{ for } \pi < \omega t < 2\pi \end{aligned} \right\} \quad (3.5)$$

図2-2より U の近似値とし、 $U = U_0 \cos \omega t$ と仮定した。

全深 R は、 $\bar{R} = (B\bar{Y}_A)/(B+2\bar{Y}_A)$, $\bar{Y}_A = (2\gamma_0/\pi) \int_{0}^{\pi} \sin \omega t dt = \frac{2}{\pi} \gamma_0$, と仮定すると、 U や γ_0 に対する方程式が(3.6)の様に得られる。

$$\left. \begin{aligned} \ddot{U} + K_1 \dot{U} + \frac{2A_2}{l F_B} U - K_3 \cos \omega t - K_4 \sin 2\omega t \approx 0 \\ \ddot{Y}_B + K_1 \dot{Y}_B + \frac{2A_2}{l F_B} Y_B - K_5 \cos \omega t + K_6 \sin \omega t \\ - K_7 \cos 2\omega t - K_8 \sin 2\omega t \approx 0 \end{aligned} \right\} \quad (3.6)$$

$$\begin{aligned} K_1 &= \frac{4U_0}{3\pi} K, K_2 = \frac{1}{2} K_1, K_3 = \frac{g\omega}{l} \left\{ 1 - \frac{F_B}{F_A} \right\} \left\{ \frac{\gamma_0}{2} + \frac{h}{\pi} \right\} - \frac{g}{l F_B} (Q_{A,H} \\ &- Q_{H,H}), K_4 = 2\omega K_2 + \frac{48\gamma_0\omega}{3\pi l} (1 - F_A/F_B), \\ K_5 &= \frac{F_A}{F_B} K_1 w \left(\frac{\gamma_0}{2} + \frac{h}{\pi} \right) + \frac{K_1}{F_B} (Q_{H,H} - Q_{A,H}), \\ K_6 &= \left\{ \frac{F_A}{F_B} \omega^2 - \frac{2A_2}{F_B l} \right\} \left(\frac{\gamma_0}{2} + \frac{h}{\pi} \right) + \frac{\omega}{F_B} (Q_{H,H} - Q_{A,H}), \end{aligned}$$

$$K_7 = \frac{8\omega^2 \gamma_0}{3\pi} \frac{F_A}{F_B} - \frac{2A_2}{F_B l} \left\{ K_2 + \frac{2\gamma_0 \omega}{3\pi l} \right\}, K_8 = \frac{4\gamma_0 K_1}{3\pi} \frac{F_A}{F_B} \omega.$$

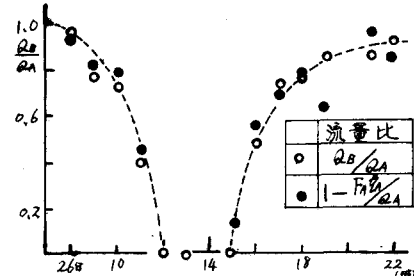


図3-2：流量の連続性(4月26日)

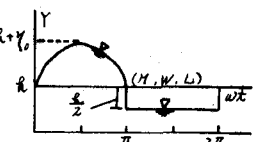


図3-3：水面変動

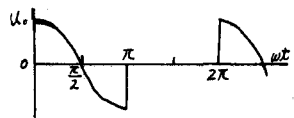


図3-4：流速変動

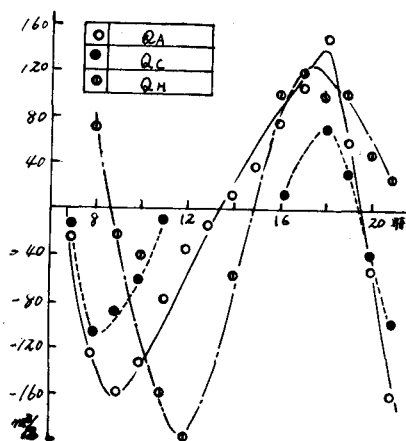


図3-5：流入流出量の関係(4月26日)

ただし、 $Q_A = Q_{A,H} \cos \omega t$, $Q_H = Q_{H,H} \cos(\omega t + \delta) \neq 0$ とし、 Q_H は(3.2)の連続式により、

$Q_H \approx (F_B + F_A)Y_A - Q_A$ とし、A断面の水理量から計算した、その結果が、図3-5に示してある。

又、 h や γ_0 は A断面の潮汐の最高値と最低値を $Y_{A,max}$, $Y_{A,min}$ とすると、 $h = (Y_{A,max} + Y_{A,min})/2$,

$\gamma_0 = (Y_{A,max} - Y_{A,min})/z$ となる。

(3.6)式の解は次のようになる。

$$U = \frac{K_3/\omega^2}{\sqrt{\left(\frac{K_1}{\omega}\right)^2 + \left(\frac{2A_2}{l F_B \omega^2} - 1\right)^2}} \sin(\omega t + \alpha_1) + \frac{K_4/4\omega^2}{\sqrt{\left(\frac{A_2}{\pi l F_B \omega^2} - 1\right)^2 + \left(\frac{K_1}{\omega}\right)^2}} \sin(2\omega t + \alpha_2) \quad (3.7)$$

$$(3.7) \text{式の各項の比較より} 1\text{次近似として}, (U)^2 = (U_0)^2 = \left[\sqrt{1 + \left(\frac{8KK_3}{3\pi\omega^2} \right)^2} - 1 \right] / 2 \left(\frac{4K}{3\pi\omega} \right)^2 \quad (3.8)$$

$$\gamma_B = \left(\frac{U_0}{\pi} - \frac{h}{4} \right) + \frac{\sqrt{\left(\frac{K_6}{\omega^2} \right)^2 + \left(\frac{K_6}{\omega^2} \right)^2}}{\sqrt{\left(\frac{2A_2}{FB \cdot l \cdot \omega^2} - 1 \right)^2 + \left(\frac{K_6}{\omega} \right)^2}} \sin(\omega t + \beta_1) + \frac{\sqrt{\left(\frac{K_7}{4\omega^2} \right)^2 + \left(\frac{K_8}{4\omega^2} \right)^2}}{\sqrt{\left(\frac{2A_2}{FB \cdot l \cdot \omega^2} - 1 \right)^2 + \left(\frac{K_7}{2\omega} \right)^2}} \sin(2\omega t + \beta_2) \quad (3.9)$$

1次近似値は同じと同様にして

$$\gamma_B = \left(\frac{U_0}{\pi} - \frac{h}{4} \right) + \frac{F_A}{F_B} \left(\frac{U_0}{\lambda} + \frac{h}{\pi} \right) \sin(\omega t + \beta'_1) + \frac{2\gamma}{3\pi} \frac{F_A}{F_B} \sin(2\omega t + \beta'_2) \quad (3.10)$$

$$\begin{aligned} \tan d_1 &= \frac{1 - \frac{2A_2}{FB \cdot l \cdot \omega^2}}{K_1/\omega}, \quad \tan d_2 = \frac{K_1/2\omega}{1 - \frac{2A_2}{2\omega^2 l \cdot F_B}} \\ \tan \beta'_1 &= \left\{ \left(\frac{K_1}{\omega} \right)^2 - 1 \right\} / 2 \left(\frac{K_1}{\omega} \right), \quad \tan \beta'_2 = K_1/(2\omega) \end{aligned} \quad \left. \right\} \quad (3.11)$$

4. 計算手順

- ①, $w = \frac{\pi}{6}$, $n = 0.03$, $F_A = 2.8 \times 10^6 \text{m}^2$, $F_B = 1.3 \times 10^6 \text{m}^2$, $f_e = 0.5$ $Q_{H.H}$, $Q_{H.A}$ を調べる。
- ②, \bar{R} , U_0 , h , K , K_1 , K_3 を計算する。③, (3.8)より U_0 を求めろ。④, K_2 , K_4 , K_5 (③のりんご用いる) の計算 ⑤, $\tan d_1$, $\tan d_2$, $\tan \beta'_1$, $\tan \beta'_2$ を (3.11) 式で計算する。⑥ 以上の値を、(3.7) 式 或は (3.10) 式に代入して, U や γ_B を計算する。

5. 対応例

昭和50年1月23日の資料

B (水路中) = 10m, $l = 5m$, $n = 0.03$ と仮定する。 $\bar{Y}_A = 0.48m$, $U_0 = 0.75m$, $h = 0.35m$

$\bar{R} = 0.44$, $k = 0.176$, $F_A/F_B = 0.215$, $K_3 = 0.39$, $Q_{A.H} \neq Q_{H.H}$, $\frac{2A_2}{FB \cdot l \cdot \omega^2} \ll 1$ とすると,
 $U_0^2 = 1.94$ $U_0 = 1.39 \text{m/s}$ (1次近似)

$K_1 = 0.104$, $K_2 = 0.052$, $K_3 = 0.4$, $K_4 = 0.33$, $d_1 = 1.87$, $d_2 = 0.05$, $\beta'_1 = 1.96$, $\beta'_2 = 0.1$

$U_0 = (U_{max})_{wt} = 0.2 = 1.57 \text{m/sec}$ (2次近似)

$\gamma_A - \gamma_B)_{wt} = 0.2 = 0.84 - 0.604 = 0.24m$ (1次近似)

昭和50年4月26日の資料

$B = 10m$, $l = 5m$, $n = 0.03$ と仮定する。 $\bar{Y}_A = 0.67m$, $\bar{R} = 0.59$, $U_0 = 1.05m$, $K = 0.168$

$h = 0.65$, $K_3 = 0.59$, $U_0 = 2.03 \text{m/s}$ (1次近似)

$K_1 = 0.144$, $K_2 = 0.072$, $K_3 = 0.59$, $K_4 = 0.435$, $d_1 = 1.3$, $d_2 = 0.14$, $\beta'_1 = 2.1$, $\beta'_2 = 0.14$

$U_0 = (U_{max})_{wt} = \bar{Y}_{1/2} = 2.23 \text{m/s}$ (2次近似)

$\gamma_A - \gamma_B)_{wt} = \bar{Y}_{1/2} = 0.84 - 0.79 = 0.05m$ (1次近似)

6. 結び

以上の如く、海中道路を設置することによる水路の流速に関する問題を検討した。その他の問題実例えば、海水交換、水質などもあるが、ペーパー数の制限のため本論文では省略した。たゞ、水温は4月26日の実測では最高25°Cから最高29°C(8時～20時)に変化し、比重は水深方向にも、時間的にも、場所的にもほとんど一様で1.04となる。